

This airborne geophysical survey and the production of this map were funded by the fourth phase of the Targeted Geoscience Initiative (TGI-4) Program of the Earth Sciences Sector, Natural Resources Canada, as well as the Ontario Geological Survey (OGS).

Ce levé géophysique aéroporté et la production de cette carte ont été financés par la quatrième phase du programme de l'Initiative géoscientifique ciblée (IGC-4) du Secteur des sciences de la Terre, Ressources naturelles Canada, ainsi que par la Commission géologique de l'Ontario (CGO).

Authors: Dumont, R. and Hefford, S.W.  
Data acquisition, compilation and map production by  
Fugro Airborne Surveys, Ottawa, Ontario.  
Contract and project management by  
the Geological Survey of Canada, Ottawa, Ontario.  
Quality assurance for the portion of the survey funded by  
the OGS was completed by Peterson, Grant and Watson Limited.

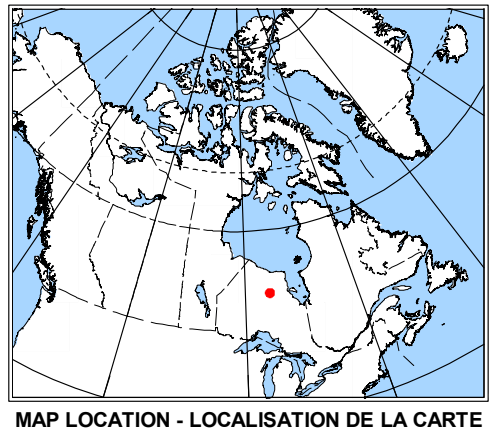
AIRBORNE GRAVITY GRADIOMETER AND MAGNETIC SURVEY OF THE MCFaulds LAKE AREA  
LEVÉ AÉROPORTÉ GRADIO-GRAVIMÉTRIQUE ET MAGNÉTIQUE DE LA RÉGION DU LAC MCFaulds  
NTS 43 D/9 and part of 43 D/8 / SNRC 43 D/9 et partie de 43 D/8  
ONTARIO

VERTICAL GRAVITY GRADIENT  
GRADIENT VERTICAL GRAVIMÉTRIQUE

Scale 1 : 50 000 - Échelle 1 / 50 000  
NAD83 / UTM zone 18N  
Projection universelle de Mercator  
Système de référence géodésique nord-américain 1983  
© Her Majesty the Queen in Right of Canada 2011

Digital Topographic Data provided by Geomatics Canada, Natural Resources Canada  
Données topographiques numériques de Geomatics Canada, Ressources naturelles Canada

Auteurs : Dumont, R. et Hefford, S.W.  
L'acquisition et la compilation des données, ainsi que la production  
des cartes, ont été effectuées par Fugro Airborne Surveys, Ottawa, Ontario.  
La gestion et la supervision du projet ont été effectuées par  
la Commission géologique de l'Ontario, Ottawa, Ontario.  
Le contrôle de la qualité pour la partie du levé financée par la Commission  
géologique de l'Ontario a été effectué par Peterson, Grant and Watson Limited.



**Technical Information:**  
These data were acquired during a fixed-wing gravity gradiometric and magnetic survey carried out by Fugro Airborne Surveys between January 26 and March 12, 2011. The survey was from using a Cessna Caravan 208B aircraft (C-GGRO) equipped with a FALCON airborne gravity gradiometer, a Sirona magnetometer, and a Real-time kinematic (RTK) GPS. The nominal traverse line spacing was 250 m, with control line spacing of 2500 m. The nominal aircraft altitude was 100 m above ground. The traverse was flown at 150 m/s, and control lines were flown perpendicular to the traverse lines. The flight path was recovered with post-flight differential GPS. The survey was carried out according to a predetermined shape surface in order to minimize the differences in altitude between the traverse and control lines. This survey was partly funded by the Earth Sciences Sector, Natural Resources Canada and the Ontario Geological Survey.

**Gravity:**  
The Fourier-derived vertical component of gravity ( $g_v$ ) was generated from digitally recorded data assuming a crustal density of 2.20 g/cm<sup>3</sup>. The gravimetric data were corrected for the time-varying response from residual aircraft motion due to moving masses. Terrain effect was removed using a density of 2.20 g/cm<sup>3</sup> applied to a 10 m regular grid. The two acquired curvature components of the gravity gradient tensor were levelled and transformed into the full gravity gradient tensor and the vertical gravity component.

**Gravimetry:**  
The Fourier-derived vertical component of gravity ( $g_v$ ) was generated from digitally recorded data assuming a crustal density of 2.20 g/cm<sup>3</sup>. The gravimetric data were corrected for the time-varying response from residual aircraft motion due to moving masses. Terrain effect was removed using a density of 2.20 g/cm<sup>3</sup> applied to a 10 m regular grid. The two acquired curvature components of the gravity gradient tensor were levelled and transformed into the full gravity gradient tensor. The Fourier method used to derive the tensor also includes data from the Canadian Gravity Anomaly Data Base to conform and integrate long wavelength gravity outside the sensitivity of the gradiometer.

**Magnetics:**  
The magnetic field was sampled 10 times per second using a split-coil cesium vapour magnetometer (sensitivity = 0.005 nT) rigidly mounted to the aircraft. Differences in magnetic values at the intersections of control and traverse lines were analysed to obtain a mutually levelled set of flight-line magnetic data. The levelled values were then interpolated to a 50 m grid. The International Geomagnetic Reference Field (IGRF) defined at the average GPS altitude of 275 m for the year 2011 (G11) was then removed. Removal of the IGRF, representing the magnetic field of the Earth's core, produces a residual component related essentially to magnetizations within the Earth's crust. The magnetic residual grid was then adjusted to Residual total magnetic field 200 m grid of Canada.

**Keating Correlation Coefficients:**  
This pattern recognition technique (Keating, 1995) for identifying roughly circular anomalies consists of computing the correlation coefficient, over a moving window, between a vertical cylinder model anomaly and the gridded magnetic data. Results above a correlation coefficient threshold of 80% were depicted as circular symbols, scaled to reflect the correlation value. The most favourable targets are those that exhibit a cluster of high correlation coefficients. The cylinder model parameters for this survey are as follows: diameter: 200 m; infinite length; depth: 27.5 m; magnetic inclination: 77°N; magnetic declination: 8°W; window size: 1000 m x 1000 m.

**Renseignements techniques :**  
Ces données ont été acquises au cours d'un levé radio-gravimétrique et magnétique par avion, effectué par Fugro Airborne Surveys entre le 26 janvier et le 12 mars 2011. Le levé a été réalisé à l'aide d'un Cessna Caravan 208B (C-GGRO) équipé d'un gradiomètre FALCON, d'un capteur magnétique Sirona et d'un système de positionnement en temps réel (RTK) GPS. L'espacement nominal des lignes de cheminement était de 250 m, avec des lignes de contrôle espacées de 2500 m. L'altitude nominale de l'avion était de 100 m. Les lignes de cheminement étaient orientées N150°E et les lignes de contrôle ont été parcourues perpendiculairement aux lignes de cheminement. La trajectoire de vol a été établie après vol par GPS différentiel. Le levé a suivi une surface prédéterminée afin de minimiser les différences d'altitude entre les lignes de cheminement et les lignes de contrôle. Ce levé a été financé conjointement par le Secteur des sciences de la Terre, Ressources naturelles Canada, et la Commission géologique de l'Ontario.

**Gravité :**  
Le gradient vertical gravimétrique ( $g_v$ ) obtenu par la méthode de Fourier a été généré à partir des données enregistrées numériquement en supposant une densité de 2,20 g/cm<sup>3</sup>. Les données gravimétriques ont été corrigées pour tenir compte de la réponse variable dans le temps du déplacement résiduel de l'avion, due à des masses en mouvement. L'effet de terrain a été éliminé en utilisant une densité de 2,20 g/cm<sup>3</sup> appliquée à une grille régulière de 10 m. Les deux composantes de courbure du tenseur de gradient de gravité, acquises par le capteur, ont été nivelées et transformées en tenseur de gradient de gravité complet et en composante de gravité verticale.

**Gravimétrie :**  
La composante verticale de la gravité ( $g_v$ ) obtenue par la méthode de Fourier a été générée à partir des données enregistrées numériquement en supposant une densité de 2,20 g/cm<sup>3</sup>. Les données gravimétriques ont été corrigées pour tenir compte de la réponse variable dans le temps du déplacement résiduel de l'avion, due à des masses en mouvement. L'effet de terrain a été éliminé en utilisant une densité de 2,20 g/cm<sup>3</sup> appliquée à une grille régulière de 10 m. Les deux composantes de courbure du tenseur de gradient de gravité, acquises par le capteur, ont été nivelées et transformées en tenseur de gradient de gravité complet. La méthode de Fourier utilisée pour calculer le tenseur inclut également des données de la Base canadienne des données gravimétriques (anomalies) afin de tenir compte et d'intégrer les valeurs de gravité à grande longueur d'onde à l'extérieur de la plage de sensibilité du gradiomètre.

**Magnétisme :**  
Le champ magnétique a été échantillonné 10 fois par seconde à l'aide d'un magnétomètre à vapeur de césium à basculement (sensibilité = 0,005 nT) rigoureusement fixé à l'avion. Les différences de valeur du champ magnétique aux intersections des lignes de contrôle et des lignes de levé ont été analysées afin d'obtenir un jeu de données sur le champ magnétique mutuellement nivelées sur les lignes de vol. Ces valeurs nivelées ont ensuite été interpolées suivant une grille à maille de 50 m. Le champ géomagnétique international de référence (International Geomagnetic Reference Field, IGRF) défini à l'altitude moyenne de 275 m fournie par les données GPS pour l'année 2011 (G11) a été soustrait. La soustraction de l'IGRF, qui représente le champ magnétique du noyau terrestre, fournit une composante résiduelle essentiellement reliée à la magnétisation de l'écorce terrestre. La grille de la composante résiduelle a ensuite été ajustée à la grille de 200 m du champ magnétique résiduel du Canada.

**Coefficients de corrélation Keating :**  
Cette technique de reconnaissance de forme (Keating, 1995) pour l'identification d'anomalies plus ou moins circulaires consiste à calculer le coefficient de corrélation dans une fenêtre mobile entre le modèle d'une anomalie d'un cylindre vertical et les données magnétiques de la grille. Les résultats qui ont un coefficient de corrélation supérieur à un seuil de 80% sont montrés sous forme de cercles ayant une dimension reflétant leur valeur de corrélation. Les cibles les plus favorables sont celles qui présentent des groupements de coefficients de corrélation élevés. Les paramètres du modèle du cylindre sont les suivants pour ce levé : diamètre 200 m; longueur infinie; profondeur: 27,5 m; inclinaison magnétique: 77°N; déclinaison magnétique: 8°W; fenêtre: 1000 m x 1000 m.

**Digital versions of this map can be downloaded, at no charge, from Natural Resources Canada's Geoscience Data Repository (MIRAGE) at <http://gdr.mcg.gc.ca>. The digital data may also be downloaded, free of charge, from Natural Resources Canada's Geoscience Data Repository for Gravity Data at <http://gdr.mcg.gc.ca/gravity>. Digital versions of the maps and digital data may also be downloaded from the Ontario Ministry of Northern Development, Mines and Forestry web portal ([geology.ontario.ca](http://geology.ontario.ca)) or from Publication Sales at the Ministry of Northern Development, Mines and Forestry, telephone: 1-888-413-9944 ext. 5691; email: [pubsales@mndmfc.gc.ca](mailto:pubsales@mndmfc.gc.ca).**

**Des versions numériques de cette carte peuvent être téléchargées sans frais depuis l'Entrepôt de données géoscientifiques de Ressources naturelles Canada (MIRAGE) à l'adresse <http://gdr.mcg.gc.ca>. Les données numériques peuvent également être téléchargées sans frais depuis l'Entrepôt de données géoscientifiques de Ressources naturelles Canada - Données gravimétriques à l'adresse <http://gdr.mcg.gc.ca/gravity>. Les versions numériques des cartes et des données numériques peuvent également être téléchargées depuis le portail du ministère du Développement du Nord, des Mines et des Forêts de l'Ontario ([geology.ontario.ca](http://geology.ontario.ca)) à l'adresse [geology.ontario.ca](http://geology.ontario.ca). Les mêmes produits sont également disponibles, moyennant des frais, en s'adressant au Centre de données géophysiques, Commission géologique de l'Ontario, 615 Booth Street, Ottawa, Ontario, K1A 0S8; téléphone: (613) 995-5236; courriel: [info@ogso.mcg.gc.ca](mailto:info@ogso.mcg.gc.ca) ou aux services de vente des publications de la Commission géologique de l'Ontario, téléphone: 1-888-413-9944 ext. 5691; courriel: [pubsales@mndmfc.gc.ca](mailto:pubsales@mndmfc.gc.ca).**

**Map Sheet Summary / Sommaire des Feuilles**

SHEET / FEUILLE	MAP / CARTE
1	Vertical Gravity Gradient Gradient vertical gravimétrique
2	Vertical Component of Gravity Composante verticale de la gravité
3	Residual Total Magnetic Field Composante résiduelle du champ magnétique total
4	First Vertical Derivative of the Magnetic Field Dérivée première verticale du champ magnétique

**Map Sheet Summary / Sommaire des Feuilles**

SHEET / FEUILLE	MAP / CARTE
1	Vertical Gravity Gradient Gradient vertical gravimétrique
2	Vertical Component of Gravity Composante verticale de la gravité
3	Residual Total Magnetic Field Composante résiduelle du champ magnétique total
4	First Vertical Derivative of the Magnetic Field Dérivée première verticale du champ magnétique

**Map Sheet Summary / Sommaire des Feuilles**

SHEET / FEUILLE	MAP / CARTE
1	Vertical Gravity Gradient Gradient vertical gravimétrique
2	Vertical Component of Gravity Composante verticale de la gravité
3	Residual Total Magnetic Field Composante résiduelle du champ magnétique total
4	First Vertical Derivative of the Magnetic Field Dérivée première verticale du champ magnétique

**Map Sheet Summary / Sommaire des Feuilles**

SHEET / FEUILLE	MAP / CARTE
1	Vertical Gravity Gradient Gradient vertical gravimétrique
2	Vertical Component of Gravity Composante verticale de la gravité
3	Residual Total Magnetic Field Composante résiduelle du champ magnétique total
4	First Vertical Derivative of the Magnetic Field Dérivée première verticale du champ magnétique

**Map Sheet Summary / Sommaire des Feuilles**

SHEET / FEUILLE	MAP / CARTE
1	Vertical Gravity Gradient Gradient vertical gravimétrique
2	Vertical Component of Gravity Composante verticale de la gravité
3	Residual Total Magnetic Field Composante résiduelle du champ magnétique total
4	First Vertical Derivative of the Magnetic Field Dérivée première verticale du champ magnétique

**Map Sheet Summary / Sommaire des Feuilles**

SHEET / FEUILLE	MAP / CARTE
1	Vertical Gravity Gradient Gradient vertical gravimétrique
2	Vertical Component of Gravity Composante verticale de la gravité
3	Residual Total Magnetic Field Composante résiduelle du champ magnétique total
4	First Vertical Derivative of the Magnetic Field Dérivée première verticale du champ magnétique

**Map Sheet Summary / Sommaire des Feuilles**

SHEET / FEUILLE	MAP / CARTE
1	Vertical Gravity Gradient Gradient vertical gravimétrique
2	Vertical Component of Gravity Composante verticale de la gravité
3	Residual Total Magnetic Field Composante résiduelle du champ magnétique total
4	First Vertical Derivative of the Magnetic Field Dérivée première verticale du champ magnétique

**Map Sheet Summary / Sommaire des Feuilles**

SHEET / FEUILLE	MAP / CARTE
1	Vertical Gravity Gradient Gradient vertical gravimétrique
2	Vertical Component of Gravity Composante verticale de la gravité
3	Residual Total Magnetic Field Composante résiduelle du champ magnétique total
4	First Vertical Derivative of the Magnetic Field Dérivée première verticale du champ magnétique

**Map Sheet Summary / Sommaire des Feuilles**

SHEET / FEUILLE	MAP / CARTE
1	Vertical Gravity Gradient Gradient vertical gravimétrique
2	Vertical Component of Gravity Composante verticale de la gravité
3	Residual Total Magnetic Field Composante résiduelle du champ magnétique total
4	First Vertical Derivative of the Magnetic Field Dérivée première verticale du champ magnétique